

تشکیل امواج عمود بر جریان ناشی از موانع استوانه‌ای در مسیر مجاری روباز

رضا عزیزی^۱، مهدی قمشی^{۲*}

۱- دانشجوی دکتری سازه‌های آبی، دانشکده مهندسی علوم آب، دانشگاه شهید چمران اهواز

۲- استاد هیدرولیک، دانشکده مهندسی علوم آب، دانشگاه شهید چمران اهواز

*اهواز، دانشگاه شهید چمران اهواز

m.ghomeshi@yahoo.com

چکیده- امواج عمود بر جریان در نتیجه همپوشانی گردابه‌های ناشی از عبور سیالات از پیرامون موانع موجود در مسیر جریان ایجاد می‌شوند. امتداد انتشار امواج، عمود بر جهت جریان سیال است. این امواج از نوع امواج نوسانی ایستا است. در مجاری طبیعی وجود پایه‌های پل و سیالاب دشتهایی با پوشش درختی می‌تواند موجب تشکیل امواج عمود بر جریان شود. در این تحقیق تشکیل امواج عمود بر جریان در فلوم آزمایشگاهی مطالعه شده است. از استوانه‌های چوبی به عنوان موانع در مسیر جریان استفاده شده است. پس از برقراری جریان، در حالتی که موانع استوانه‌ای مستغرق هستند، هیچ نوسانی در سطح جریان مشاهده نمی‌شود. با کاهش تدریجی عمق جریان، چهار نوع موج سطحی در امتداد عرض فلوم آزمایشگاهی تشکیل می‌شود. در این تحقیق تشکیل امواج در آرایش‌های مختلف موضع مقایسه شده است. نتایج این بررسی نسبت دامنه امواج با عمق متوسط جریان را مشخص می‌سازد. حداکثر دامنه موج مشاهده شده برابر با ۴۳ درصد عمق متوسط جریان است.

کلید واژگان: گردابه، موج عمود بر جریان، نوسان جریان، دامنه موج، مجاری طبیعی.

است. در امواج عمود بر جریان جهت انتشار در امتداد عرض آبراهه (عمود بر جهت جریان) است. در جریانهای داخلی و خارجی سیالات، هنگامی که جسم جامدی در مسیر جریان سیال قرار می‌گیرد، سرعت سیال در روی مرزهای آن برابر صفر می‌شود؛ در نتیجه در مجاورت مرز جسم گرادیان سرعت بزرگی به وجود می‌آید و لایه مرزی شکل می‌گیرد. با رشد لایه مرزی و پس از طی

۱- مقدمه

در جریان مجاری روباز امواج سطحی مختلفی تشکیل می‌شود. جریانهای جزر و مدن^۱، امواج ناگهانی^۲ مثبت و منفی و موج سیل^۳ از جمله این موارد است. در تمامی موارد مذکور جهت انتشار امواج، موازی با جهت جریان

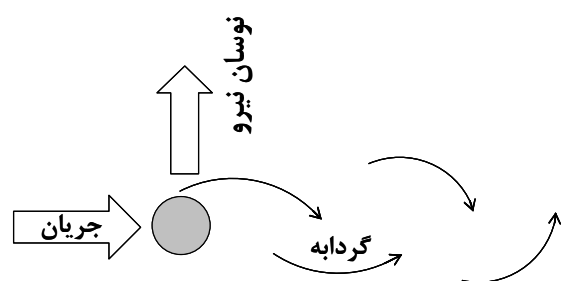
1. Estuary Flow
2. Surge
3. Flood Wave

همچنین به این نکته پی برد که اگر فرکانس صدای تولید شده با فرکانس طبیعی سیم برابر شود، صدای تولید شده به میزان قابل ملاحظه‌ای افزایش می‌یابد. تحقیقات مشابه Blevins (1977) Fitz-Hugh (1973)، Zukauskas et al. (1988)، Weaver et al. (1986)، Hamakawa et al. (2006)، Ziada et al. (1989) انجام شده است. بیشتر تحقیقات به مسائل جریان گازها در مبدل‌های حرارتی^۰ مربوط می‌شود.

در مقابل، تحقیقاتی که به تشکیل گردابه و پدیده‌های مرتبط با آن در محیط آب پرداخته باشد، بسیار کم است. Crasse (1939) یافته‌های خود را در زمینه امواج تولید شده در کanal‌های باز منتشر کرده است که احتمالاً اولین تحقیق در این زمینه است. Schuster (1967) نوسانهای ایجاد شده توسط پایه‌های پل را بررسی کرده است. Falvey (1980) تولید موج توسط پایه‌های پل را در کanal ذوزنقه‌ای بررسی کرده است. همچنین Rohde et al. (1980) نوسانهای ناشی از موانع غیر استوانه‌ای را در کanal مطالعه و عدد استروهال^۱ مربوط به این حالت خاص را تعیین کرده‌اند. در تحقیق دیگری Zima and Ackermann (2002) با استفاده از دو فلوم با عرض‌های ۰/۱۵ و ۰/۴۵ متر و بهترتیب با استفاده از دو سری میله چوبی با قطرهای ۰/۱۲۷ و ۰/۰۲۵۴ متر، رابطه‌ای را برای شبیه‌سازی مقادیر بیشتر دامنه امواج به صورت بدون بعد (A/h) پیشنهاد کرده است. در تحقیق جدیدی تشکیل امواج عمود بر جریان در کanal‌های باز توسط Ghomeshi et al. (2007) بررسی شده و روابط جدیدی برای محاسبه دامنه بدون بعد امواج و نیز رابطه جدیدی برای محاسبه عدد استروهال در حالتی که سیال مورد نظر آب باشد پیشنهاد شده است.

5. Heat Exchanger
6. Strouhal Number

مسافتی که لایه مرزی به سکون می‌رسد، جدایی^۲ خطوط جریان رخ می‌دهد (انتظاری، ۱۳۸۱). در پایین دست خطوط جریانی که از مرز جدا می‌شوند (ناحیه دنباله^۳) گردابه^۴ تشکیل می‌شود. در شکل ۱ طرحواره‌ای از تشکیل گردابه در یک سمت مانع استوانه‌ای نشان داده شده است.



شکل ۱ نمای شماتیک تشکیل گردابه در یک سمت مانع استوانه‌ای

در جریان مجازی رویاگر موارد زیادی وجود دارد که جریان باید از مجموعه‌ای از موانع استوانه‌ای موجود در مسیر عبور کند. این موانع ممکن است پایه‌های پل، پایه‌های اسکله یا پوشش گیاهی درختی در حریم سیل‌گیر رودخانه‌ها باشند. با عبور سیال از اطراف موانع مسیر جریان، گردابه و لایه‌های برشی^۵ شکل می‌گیرد. تشکیل گردابه، بسته به مشخصات مجرأ و شرایط هیدرولیکی جریان سبب تشکیل امواج عمود بر جریان می‌شود.

اولین یافته‌ها و تحقیقات در زمینه گردابه‌های حاصل از عبور سیالات از پیرامون موانع مسیر جریان، به گازها مربوط می‌شود. Strouhal (1878) دریافت که صدای ایجاد شده از سیم‌هایی که در معرض وزش باد قرار دارند، با نسبت سرعت باد به قطر سیم متناسب است. او

1. Separation
2. Wake
3. Vortex
4. Shear Layers

ورق‌های پلکسی گلاس^۴ با ضخامت ۰/۰۱ متر پوشانده شد. ورق‌های پلکسی گلاس به صورت شبکه‌ای، در دو جهت طولی و عرضی با فواصل ۰/۰۳ متر رزوه شد به‌گونه‌ای که امکان نصب موانع استوانه‌ای در دو آرایش موازی^۵ و زیگزاگی^۶ و با فواصل طولی (P) و عرضی (T) مختلف وجود داشت. T فاصله بین موانع متواالی در یک ردیف و P فاصله ردیفها از یکدیگر در امتداد جریان است. در شکل ۲ چهار نمونه از نحوه نصب و آرایش موانع در فلوم آزمایشگاهی نشان داده شده است.

در این تحقیق ۲۲ آزمایش با فواصل طولی و عرضی مختلف (تراکم‌های مختلف) در دو آرایش موازی و زیگزاگی انجام شده است. با توجه به قطر موانع و ابعاد شبکه‌بندی کف فلوم، آرایش و فواصل موانع طوری انتخاب شد که محدوده مناسبی از تراکم موانع موجود باشد. در جدول ۱ مشخصات کلی آزمایش‌های انجام شده در این تحقیق ارائه شده است. در ستون ۱ از جدول ۱ شماره آزمایشها مشخص شده است. در ستونهای ۲ و ۳ مقادیر T و P بر حسب متر مشخص شده است. ستون ۴ آرایش موانع را مشخص می‌کند. در ستونهای ۵ و ۶ به ترتیب عرض فلوم آزمایشگاهی و دبی جریان مشخص شده است. در ستون ۷ تراکم موانع (N) در هر آزمایش مشخص شده است. تراکم موانع بصورت میانگین تعداد موانع در دو ردیف متواالی تعریف شده است. در ستونهای ۸ و ۹ مقدار دو پارامتر بدون بعد T/D و P/D محاسبه شده است. D قطر موانع استوانه‌ای است. در ستون ۱۰ مقادیر بیشتر نسبت بدون بعد دامنه امواج به عمق متوسط جریان (A/h) آورده شده است (در مورد این ستون در قسمت تجزیه و تحلیل نتایج توضیح داده شده است).

امواج عمود بر جریان در نتیجه همپوشانی گردابه‌های ناشی از جدایی خطوط جریان و نیروهای متقابل ایجاد شده، در امتداد عرضی مجرای جریان تشکیل می‌شوند و در مجاری با بستر فرسایشی، در انتقال رسوبها و تشکیل شکل بستر^۱ موثر خواهند بود. با توجه به اینکه پدیده امواج عمود بر جریان در مجاری روباز کمتر مطالعه شده، تحقیق حاضر با هدف بررسی امواج عمود بر جریان در مجاری روباز و شناخت خصوصیات این امواج انجام شده است.

۲- مواد و روشها

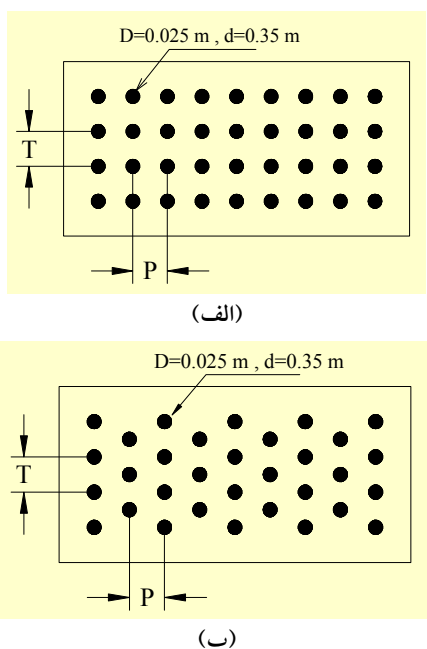
در این تحقیق از فلوم آزمایشگاهی با مقطع مستطیلی به طول ۶ متر، عرض ۰/۷۲ متر و ارتفاع ۰/۶ متر استفاده شده است. شب فلوم در طول آزمایشها ثابت و برابر ۰/۰۰۵ بود. دبی جریان در طول آزمایشها ثابت و برابر ۱/۰ متر مکعب در ثانیه تنظیم شد. دبی بهوسیله جریان‌سنج مغناطیسی^۲ که در ورودی فلوم نصب شده، اندازه‌گیری و تنظیم می‌شد. جریان پس از عبور از مخزن آرام کننده به فلوم آزمایشگاهی وارد می‌شد. کنترل عمق (و سرعت) جریان توسط سرریز کشویی^۳ (سرریز با ارتفاع قابل تنظیم) در انتهای فلوم انجام می‌شد. در هر آزمایش ارتفاع سرریز کشویی از مقدار حداقل (متناسب با عمق جریانی که امواج عمود بر جریان شکل می‌گیرند) تا ارتفاع صفر با گام‌های ۰/۰۰۵ متر تغییر می‌کرد. در این تحقیق در هر آزمایش به‌طور متوسط از ۲۵۰ عدد استوانه چوبی به عنوان موانع مسیر جریان در فلوم آزمایشگاهی استفاده شد. قطر موانع در طول آزمایشها ثابت و برابر ۰/۰۲۵ متر بود. کل کف فلوم با استفاده از

4. Plexiglass
5. In-Line
6. Staggered

1. Bed Form
2. Magnetic Flowmeter
3. Weir Gate



شکل ۲ چهار نمونه از نحوه نصب و آرایش موانع در فلوم آزمایشگاه



شکل ۳ الف-آرایش موازی، ب-آرایش زیگزاگی موانع

در ستون ۱۱ حداقل مقدار عدد فرود جریان و در ستون ۱۲ حداقل مقدار عدد رینولذی موانع در هر آزمایش آورده شده است.

در شکل ۳ مشخصات آرایش موانع در فلوم آزمایشگاهی ارائه شده است.

با توجه به اینکه فاصله بین نقاط رزوه شده بر روی صفحات پلکسی گلاس در کف فلوم آزمایشگاهی برابر 0.03 متر است، تمام فواصل T و P مضربی از 0.03 متر خواهند بود. بنابراین در هر آزمایش طول ناحیه مانع گذاری با استفاده از رابطه (۱) به دست می‌آید:

$$L = (N_r - 1) \cdot (P) \quad (1)$$

فلوم به صورت حداکثر و حداقل عمق جریان روی دیوار فلوم (دو برابر دامنه موج، A) اندازه‌گیری شد. اندازه‌گیری جابه‌جایی امواج (تغییرات عمق جریان) با استفاده از خط‌کشها یکی که بر روی دیوار فلوم نصب شده بود صورت گرفت. همچنین در هر حالت نوع موج مشاهده شده ثبت شد. یادآوری می‌شود که دبی جریان و شیب فلوم در طول آزمایشها ثابت بود.

در رابطه بالا L طول ناحیه مانع گذاری، N_r تعداد ردیف موانع و P فاصله ردیفهای موانع است. در هر آزمایش با توجه به طول ناحیه مانع گذاری، موانع در قسمت میانی فلوم نصب شد. اندازه‌گیری‌ها در سه مقطع در طول ناحیه مانع گذاری شده انجام گرفت. در هر آزمایش برای ارتفاع مشخص سرریز کشویی پایین دست، در سه مقطع در طول ناحیه مانع گذاری شده حداکثر جابه‌جایی موج روی دیوار

جدول ۱ مشخصات کلی آزمایش‌های انجام شده در این تحقیق

(۱)	(۲)	(۳)	(۴)	(۵)	(۶)	(۷)	(۸)	(۹)	(۱۰)	(۱۱)	(۱۲)
شماره آزمایش	T (m)	P (m)	آرایش مانع	b (m)	Q (m³/s)	N ...	T/D ...	P/D ...	A/h (%)	Fr _{max} ...	Re _{max} ...
۱	۰/۰۹	۰/۱۲	موازی	۰/۷۲	۰/۰۱	۸/۰	۳/۶	۴/۸	۳۱/۰	۰/۳	۵۶۸۴
۲	۰/۰۹	۰/۲۴	موازی	۰/۷۲	۰/۰۱	۸/۰	۳/۶	۹/۶	۱۸/۰	۰/۴	۶۶۱۰
۳	۰/۰۹	۰/۳۶	موازی	۰/۷۲	۰/۰۱	۸/۰	۳/۶	۱۴/۴	۱۴/۰	۰/۴	۷۴۱۶
۴	۰/۱۸	۰/۱۲	موازی	۰/۷۲	۰/۰۱	۴/۰	۷/۲	۴/۸	۱۸/۰	۰/۵	۷۵۷۹
۵	۰/۱۸	۰/۲۴	موازی	۰/۷۲	۰/۰۱	۴/۰	۷/۲	۹/۶	۸/۳	۰/۵	۸۲۱۰
۶	۰/۱۸	۰/۳۶	موازی	۰/۷۲	۰/۰۱	۴/۰	۷/۲	۱۴/۴	۳/۰	۰/۶	۹۲۷۸
۷	۰/۲۷	۰/۱۲	موازی	۰/۷۲	۰/۰۱	۳/۰	۱۰/۸	۴/۸	۷/۲	۰/۵	۸۲۱۰
۸	۰/۲۷	۰/۲۴	موازی	۰/۷۲	۰/۰۱	۳/۰	۱۰/۸	۹/۶	۳/۰	۰/۶	۹۲۷۸
۹	۰/۲۷	۰/۳۶	موازی	۰/۷۲	۰/۰۱	۳/۰	۱۰/۸	۱۴/۴	بدون موج
۱۰	۰/۰۶	۰/۱۲	زیگزاگی	۰/۷۲	۰/۰۱	۱۰/۵	۲/۴	۴/۸	۲۱/۰	۰/۳	۵۴۵۲
۱۱	۰/۰۶	۰/۲۴	زیگزاگی	۰/۷۲	۰/۰۱	۱۰/۵	۲/۴	۹/۶	۲۱/۰	۰/۴	۶۳۸۶
۱۲	۰/۰۶	۰/۳۶	زیگزاگی	۰/۷۲	۰/۰۱	۱۰/۵	۲/۴	۱۴/۴	۱۲/۰	۰/۴	۶۸۹۷
۱۳	۰/۰۶	۰/۰۶	موازی	۰/۷۲	۰/۰۱	۱۱/۰	۲/۴	۲/۴	۴۳/۰	۰/۳	۶۰۲۳
۱۴	۰/۱۲	۰/۱۲	موازی	۰/۷۲	۰/۰۱	۶/۰	۴/۸	۴/۸	۴۰/۰	۰/۳	۵۵۳۲
۱۵	۰/۰۹	۰/۰۹	زیگزاگی	۰/۷۲	۰/۰۱	۷/۵	۳/۶	۳/۶	۲۸/۰	۰/۲	۴۹۹۸
۱۶	۰/۰۹	۰/۰۶	موازی	۰/۷۲	۰/۰۱	۷/۰	۳/۶	۲/۴	۳۴/۰	۰/۳	۶۱۵۸
۱۷	۰/۰۹	۰/۰۳	زیگزاگی	۰/۷۲	۰/۰۱	۷/۵	۳/۶	۱/۲	۲۰/۰	۰/۳	۵۵۸۴
۱۸	۰/۱۲	۰/۰۶	زیگزاگی	۰/۷۲	۰/۰۱	۵/۵	۴/۸	۲/۴	۲۲/۰	۰/۳	۵۱۶۰
۱۹	۰/۰۳	۰/۰۳	زیگزاگی	۰/۷۲	۰/۰۱	۲۲/۵	۱/۲	۱/۲	بدون موج
۲۰	۰/۰۳	۰/۰۶	موازی	۰/۷۲	۰/۰۱	۲۳/۰	۱/۲	۲/۴	بدون موج
۲۱	۰/۰۳	۰/۰۹	زیگزاگی	۰/۷۲	۰/۰۱	۲۲/۵	۱/۲	۳/۶	بدون موج
۲۲	۰/۰۳	۰/۱۲	موازی	۰/۷۲	۰/۰۱	۲۳/۰	۱/۲	۴/۸	بدون موج

۳- مشاهدات

در فلوم آزمایشگاهی در حالتی که موانع مستغرق هستند، هیچ موجی تشکیل نمی‌شود. با کاهش تدریجی عمق جریان (با کاهش ارتفاع سریز کشویی پایین دست با گام‌های 0.005 m در هر مرحله) موج $n=1$ با دامنه کم شروع به نوسان می‌کند. با کاهش بیشتر عمق جریان دامنه موج $n=1$ بیشتر می‌شود تا اینکه به دامنه حداقل، در حالت تشدید می‌رسد. با کاهش مجدد عمق جریان، دامنه موج روند نزولی را طی می‌کند تا اینکه موج $n=1$ به طور کامل محو می‌شود و نوسان سطح آب صفر می‌شود. با کاهش بیشتر عمق جریان به تدریج موج $n=2$ تشکیل می‌شود. در این موج هم پس از رسیدن به یک دامنه حداقل، نوسان در کاهش‌های بعدی عمق جریان از بین می‌رود. موجهای $n=3$ و $n=4$ نیز با همین روند شکل می‌گیرند (Ghomeshi et al., 2007). در شرایط هیدرولیکی خاص ممکن است پس از موج $n=3$ مجدداً موج $n=2$ مشاهده شود. در تحقیق حاضر این حالت در آزمایش شماره ۱۰ مشاهده شد. امواج عمود بر جریان از نوع امواج نوسانی^۳ ایستا^۲ هستند که توسط دیوارهای قائم فلوم آزمایشگاهی به طور کامل بازتاب می‌شوند.

در شکل ۴ طرحواره تشکیل امواج در مقطع عرضی فلوم آزمایشگاهی نشان داده شده است.

در ۲۲ آزمایش انجام شده در این تحقیق، در آزمایش شماره ۹ به دلیل تراکم کم موانع و عدم همپوشانی گردابه‌های ناشی از جدایی خطوط جریان و در آزمایشهای شماره ۱۹، ۲۰، ۲۱ و ۲۲ به دلیل تراکم زیاد موانع و افت انرژی زیاد، موجی تشکیل نشد. مشخصات آرایش موانع در این پنج حالت در جدول ۱ ارائه شده است.

امواج بر اساس معیارهای متفاوتی تقسیم‌بندی می‌شوند. در تقسیم‌بندی موجها بر اساس تأثیری که بر نحوه جابه‌جایی و تغییر شکل ذرات محیط دارند و بر اساس اینکه موجب انتقال جرم می‌شوند یا نه، دسته‌بندی می‌شوند. امواج عمود بر جریان در مجاری رویاگ که در این تحقیق بررسی شده امواج عرضی هستند که در راستای عمود بر جهت جریان منتشر می‌شوند و موجب انتقال جرم نمی‌شوند.

موجها به وسیله تعاریفی مانند دامنه موج، طول موج و فرکانس از یکدیگر تفکیک می‌شوند. در امواج عمود بر جریان، در حالت حداقل دامنه امواج (تشدید^۱ امواج)، طول موج امواج رابطه‌ای مستقیم با عرض فلوم آزمایشگاهی دارد (Zima and Achermann, 2002). بر اساس این رابطه چهار نوع موج تشخیص داده می‌شود. این چهار نوع موج با حرف n و شماره‌های ۱ تا ۴ نامگذاری می‌شوند (جدول ۲).

در ستون ۱ جدول ۲ نوع امواج مشخص شده است. در ستون ۲ رابطه طول موج امواج با عرض فلوم آزمایشگاهی و در ستون ۳ عرض فلوم آزمایشگاهی مشخص شده است. در ستون ۴ طول موج امواج سطحی عمود بر جریان محاسبه شده است.

جدول ۲ رابطه طول موج با عرض فلوم

در امواج در حالت تشدید

(۴)	(۳)	(۲)	(۱)
$\lambda_n(\text{m})$	$b(\text{m})$	$(b)(\lambda)$ با $(b)(\lambda)$	نوع موج (n)
۱/۴۴	۰/۷۲	$\lambda = (2/0)b$	۱
۰/۷۲	۰/۷۲	$\lambda = (1/0)b$	۲
۰/۴۸	۰/۷۲	$\lambda = (0/67)b$	۳
۰/۳۶	۰/۷۲	$\lambda = (0/5)b$	۴

1. Oscillatory
2. Standing

1. Resonance

۴- تجزیه و تحلیل نتایج

بر اساس مطالعات Lienhard (1966) گردابهای پایین دست موانع زمانی به وجود می‌آیند که عدد رینولدز موانع (Re) در یکی از دو محدوده زیر قرار داشته باشد.

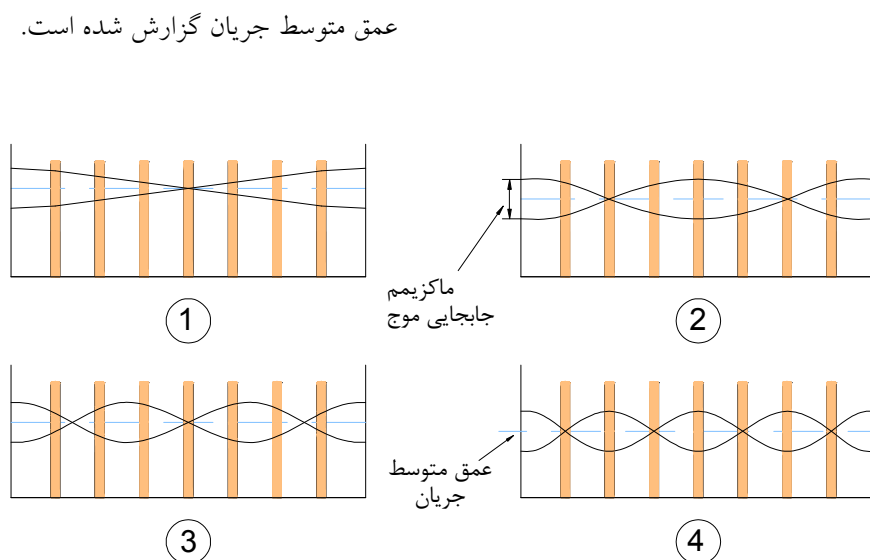
$$40 < Re < 3 \times 10^5 , \quad Re > 3.5 \times 10^6 \quad (2)$$

عدد رینولدز موانع به صورت زیر تعریف می‌شود:

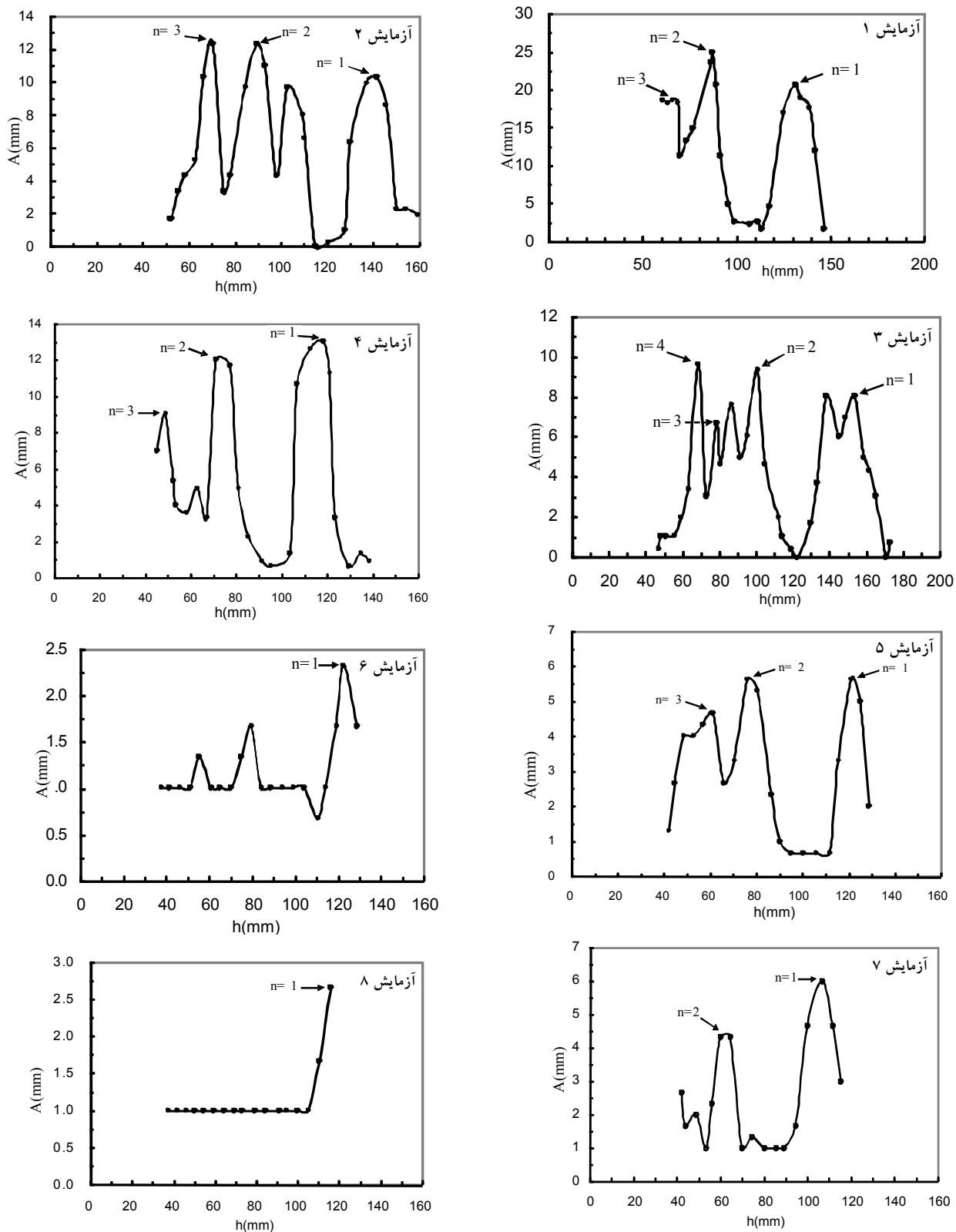
$$Re = \frac{D \cdot U}{\nu} \quad (3)$$

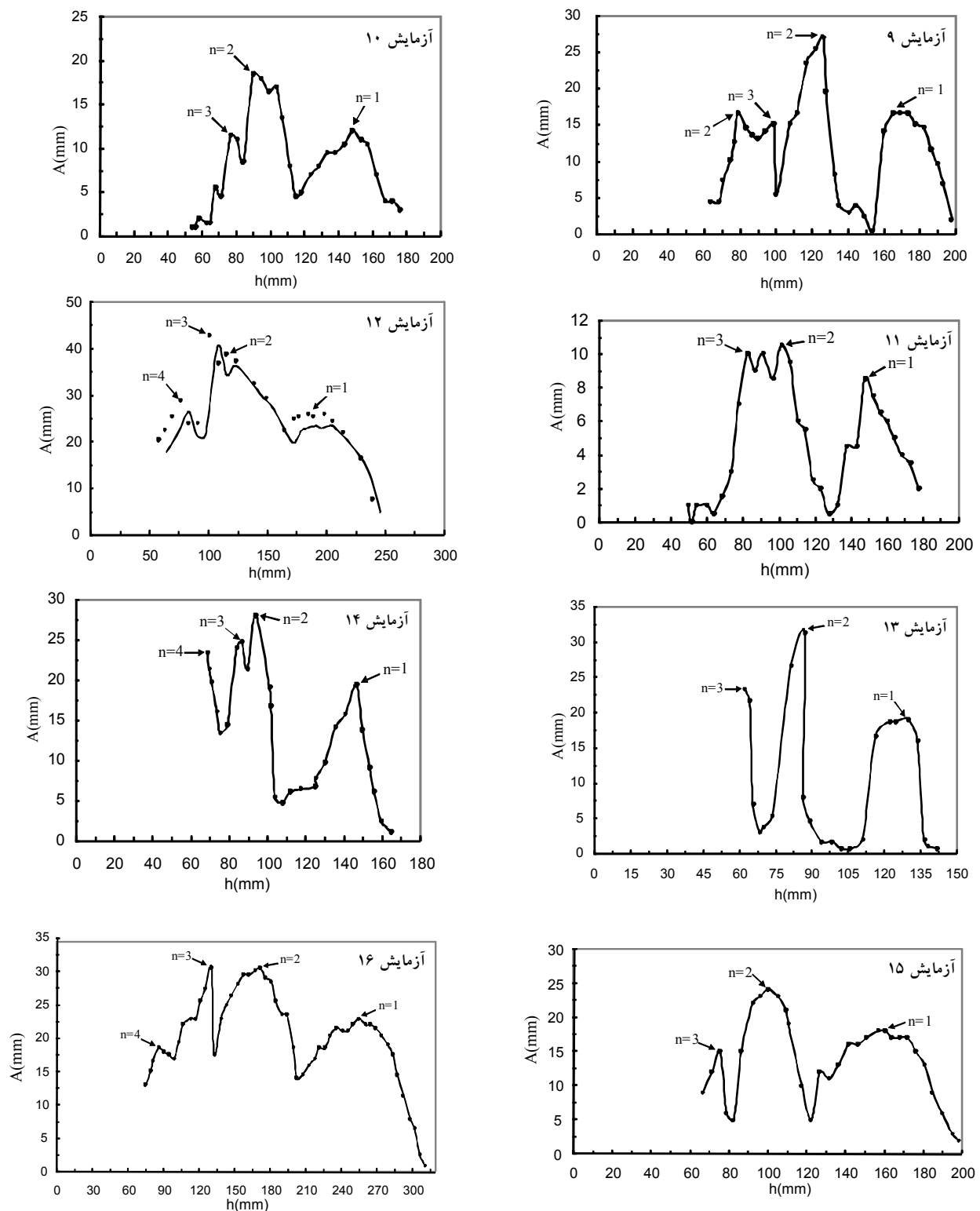
در رابطه بالا D قطر مانع استوانه‌ای، U سرعت متوسط جریان و ν لزجت سینماتیکی سیال است.

در ۲۲ آزمایش انجام شده در این تحقیق حداکثر و حداقل عدد رینولدز موانع به ترتیب برابر ۹۲۷۸ و ۱۹۴ محاسبه شد. همچنین رژیم جریان در طول آزمایشها زیر بحرانی بود (حداکثر عدد فرود جریان $0/6$ محاسبه شد). برای نشان دادن حداکثر دامنه امواج و نوع امواج، نمودار دامنه امواج در مقابل عمق جریان (نمودار A-h) ترسیم شد.

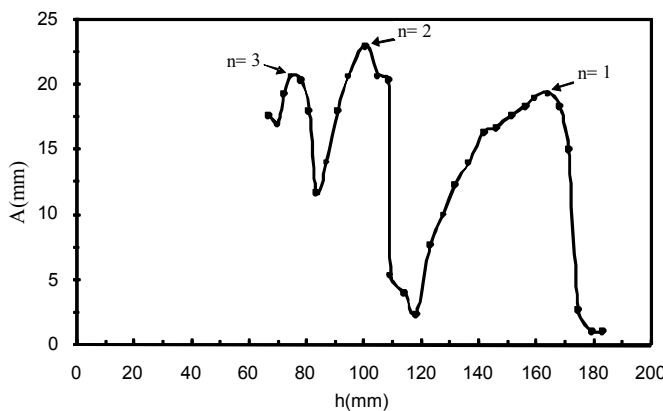


شکل ۴ انواع امواج عمود بر جریان در مجاری روباز

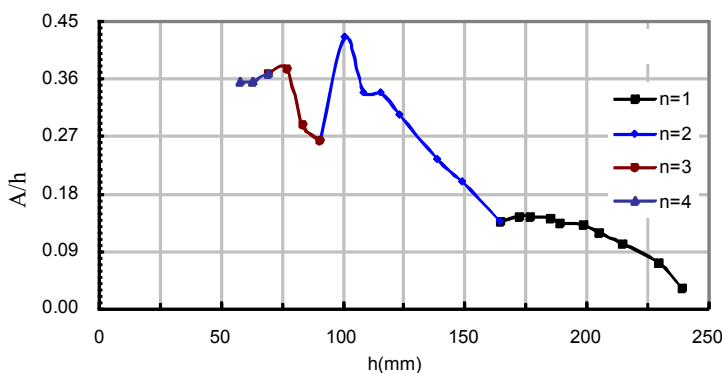
شکل ۵ نمودارهای دامنه امواج (A) در مقابل عمق جریان (h)



شکل ۵ ادامه نمودارهای دامنه امواج (A) در مقابل عمق جریان (h)



شکل ۵ ادامه نمودارهای دامنه امواج (A) در مقابل عمق جریان (h)

شکل ۶ نمودار دامنه بدون بعد (A/h) در مقابل عمق متوسط جریان (h)

خیلی کم (به دلیل ناهمپوشانی گردابه‌های ناشی از موانع) و در تراکم‌های زیاد (به دلیل افت زیاد انرژی) امواج عمود بر جریان تشکیل نمی‌شود. با رسم نمودارهای A/h (نسبت بیشتر جابه‌جایی موج به عمق متوسط جریان) در مقابل عمق متوسط جریان (h) مشخص شد که حداقل دامنه موج مشاهده شده در طول آزمایشها ۴۳ درصد عمق متوسط جریان است.

۶- فهرست عالئم

- | | |
|---|----------------------|
| A | دامنه امواج |
| b | عرض فلوم آزمایشگاهی |
| D | قطر موانع استوانه‌ای |

۵- نتیجه‌گیری

موارد بسیار زیادی از جریان سیالات وجود دارد که سیال باید از مجموعه‌ای از موانع، که به صورت عمود بر مسیر جریان سیال قرار گرفته اند عبور کند. در این شرایط در اثر همپوشانی گردابه‌های ناشی از جدایی خطوط جریان، امواج عمود بر جریان تشکیل می‌شود. امواج عمود بر جریان از نوع امواج نوسانی ایستا و عرضی هستند که توسط دیوارهای قائم فلوم آزمایشگاهی بطور کامل بازتاب می‌شوند. در مجاری روباز با توجه به شرایط هیدرولیکی جریان، چهار نوع موج عمود بر جریان مشاهده می‌شود. طول موج این امواج در حالت تشدید رابطه‌ای مستقیم با عرض مجرأ دارد. در تراکم‌های بسیار

Fitz-Hugh, J. S. (1973). "Flow induced vibration in heat exchangers", Proc. UKAEA/NPL international symposium on vibration problems in industry, Kkeswick, England, Paper 427, pp. 1-17.

Ghomeshi, M., Mortazavi-Dorcheh, S.A., and Falconer, R. (2007). "Wave Formation by vortex shedding in open channel", Cardiff Univ., Cardiff, UK.

Hamacawa, H., Fukano, T., Nishida, E., and Ishida, H. (2006). "effect of flow induced acoustic resonance on vortex shedding from staggered tube banks", JSME International Journal, Series B, Vol. 49, No. 1.

Linhard, J. H. (1966). "Synopsis of lift, drag and vortex frequency data for rigid circular cylinders", Washington State University, College of Engineering, Research Division Bulletin 300.

Rohde, F. G., Rouve, G., and Pasche, E. (1980). "Self-Excited oscillatory surface waves around cylinders". Practical experiences with flow induced vibrations, E. Naudascher and Rockwell, eds., Springer, New York.

Schuster, J. C. (1976). "Canal capacity studies, wave formation by bridge piers". Hydraulics Branch Rep., HYD-485, U.S. Bureau of Reclamation.

Strouhal, V. (1878). "Über eine besondere Art der tonerregung", Ann. Physik (Leipzig).

Weaver, D. S., Fitzpatrick, J. A. and Elkashlan, M. (1986). "Strouhal number for heat exchanger tube arrays in cross-flow induced vibration", PVP, 104, pp. 193-200.

Zukauskas, A. Ulinskas, R. and Katinas, V. (1988). "Fluid dynamics and flow-induced vibrations of tube banks", Hemisphere, New York.

Ziada, S., Oengoren, A. and Buhlmann, E. T. (1989). "On acoustical resonance in tube arrays". J. Fluids Struct., pp. 239-314.

Zima, L., and Ackermann, N.L. (2002). "Wave generation in open channels by vortex shedding from channel obstructions", J. of Hydraulic Engineering, ASCE. Vol. 128, No. 6, pp. 596-603.

d	ارتفاع موانع استوانه‌ای
Fr _{max}	حداکثر مقدار عدد فرود جریان در هر یک از آرایش موانع
h	عمق متوسط جریان در فلوم آزمایشگاهی
L	طول ناحیه مانع گذاری شده
N	تراکم موانع
N _r	تعداد ردیف‌های ممانع استوانه‌ای در طول ناحیه مانع گذاری شده
n	نوع (مُد) امواج عمود بر جریان
P	فاصله بین ردیف‌های ممانع استوانه‌ای
Re	عدد بدون بُعد رینولدز
T	فاصله بین موانع متواالی در هر ردیف
U	سرعت متوسط جریان
λ	طول موج
ν	لزجت سینماتیکی سیال

-۷- منابع

- انتظاری، ع. (۱۳۸۱). مکانیک سیالات، انتشارات نوپردازان، تهران.
- شفاعی بجستان، م. (۱۳۸۴). مبانی و کاربرد مدل‌های فیزیکی هیدرولیکی، انتشارات دانشگاه شهید چمران، اهواز.
- Blevins, R. D. (1977). Flow-induced vibration. VNR, London, England.
- Crasse, (1939)."Sur un phenomene d'oscillation du plan d'eau provoqué par l'écolement autour d'obstacles en forme de piles du pont", Croptes rendus de séances de l'académie de sciences, 209 , (In French).
- Falvey, H. T. (1980). "Bureau of reclamation experience with flow-induced vibration", Practical experiences with flow induced vibrations, E. Naudascher and Rockwell, eds., Springer, New York.